

Energetické suroviny

- uran
- ropa, zemní plyn
- uhlí
- hydráty CH_4
- geotermální energie

Energie - spotřeba

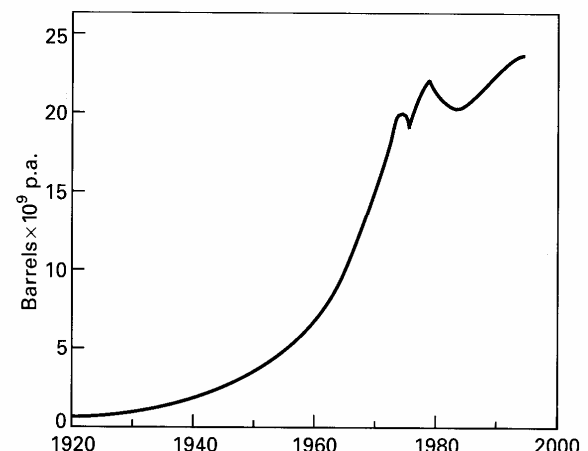
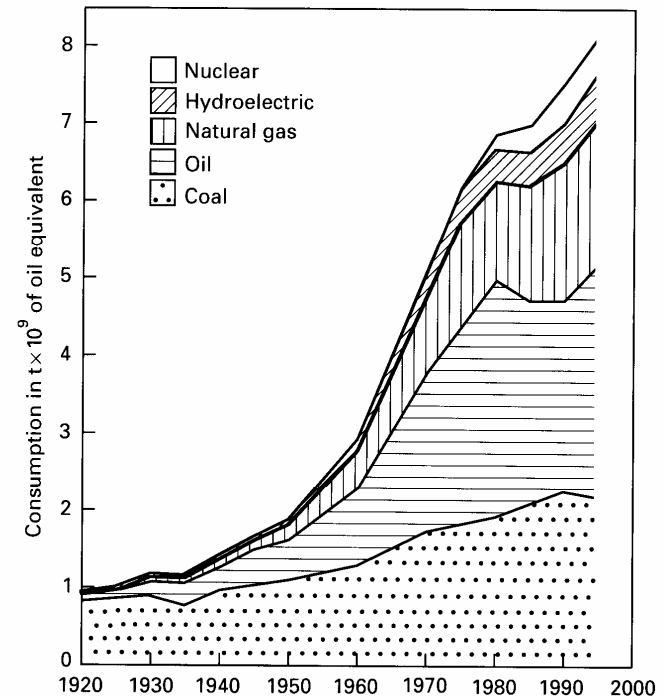
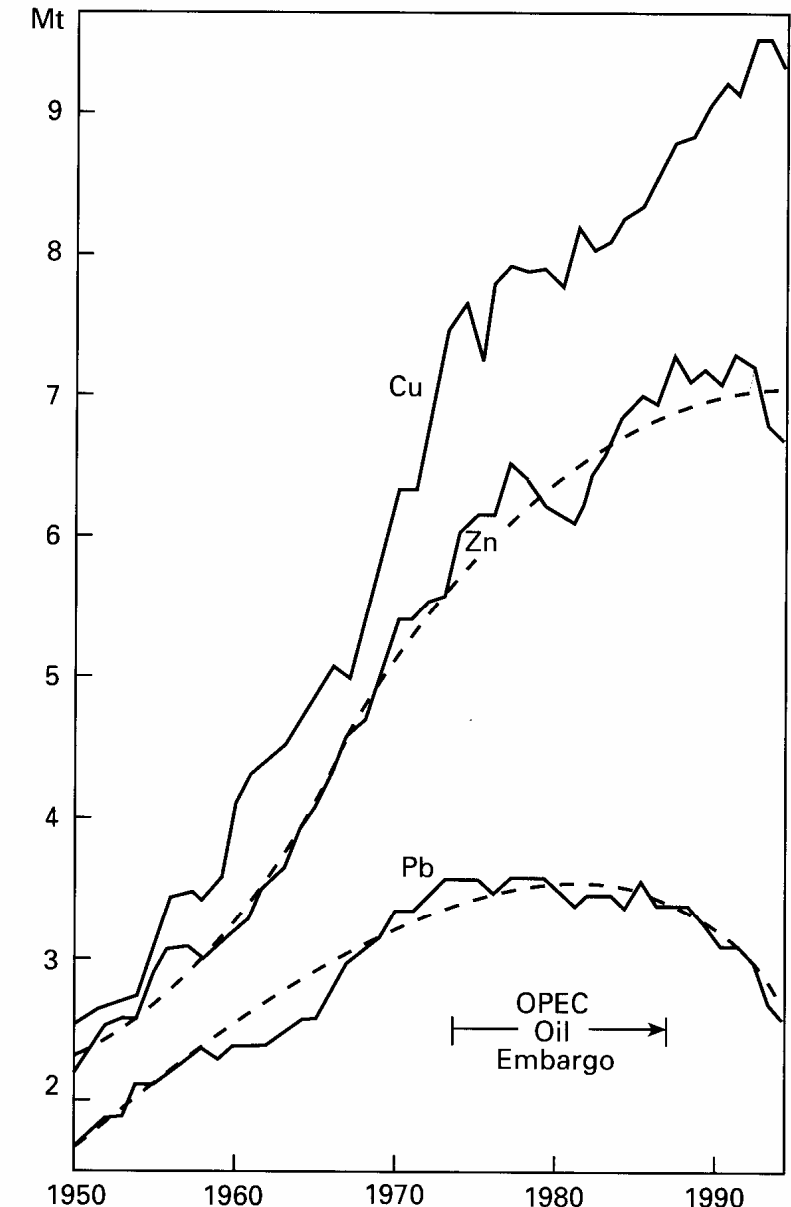


Fig. 23.2 World production of oil since 1920. Note the sharp rise in the 1950s and 1960s and the effects of the oil embargoes in the 1970s.

Vliv na produkci (i ceny) surovin

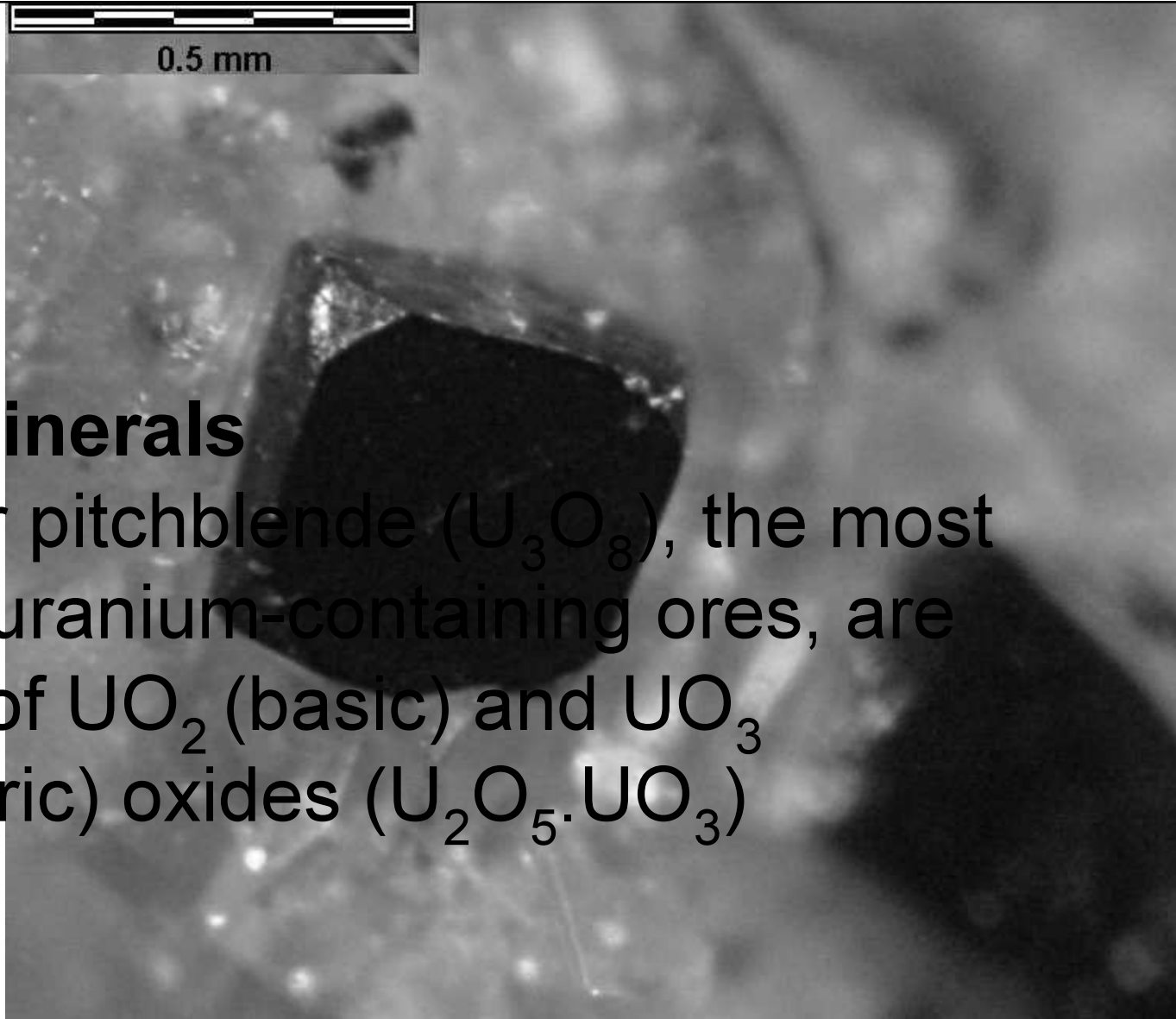
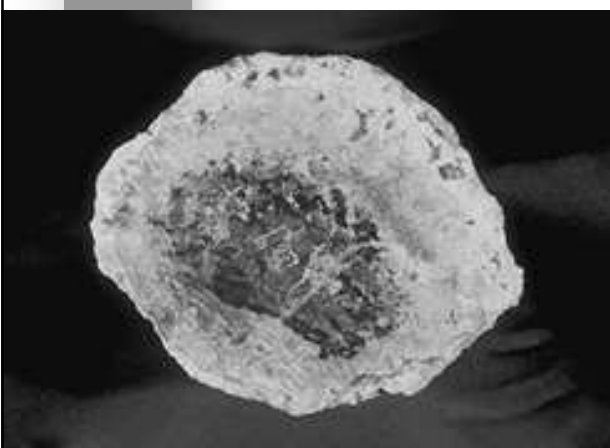
Fig. 2.3 World production of copper, zinc and lead from 1950 to 1994. General trends for zinc and lead superimposed.



Uran

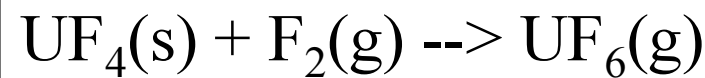
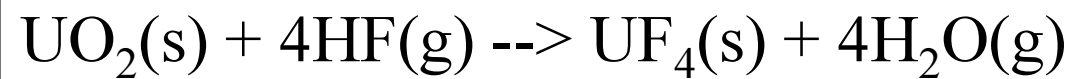
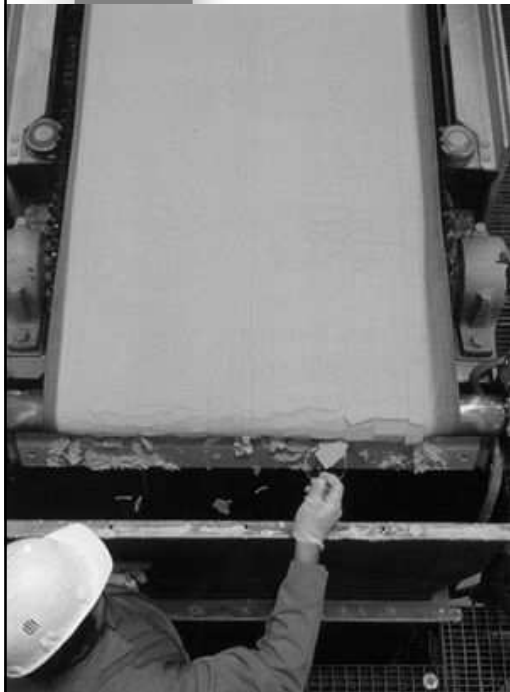
Uranium Minerals

Uranite or pitchblende (U_3O_8), the most common uranium-containing ores, are mixtures of UO_2 (basic) and UO_3 (amphoteric) oxides ($\text{U}_2\text{O}_5 \cdot \text{UO}_3$)

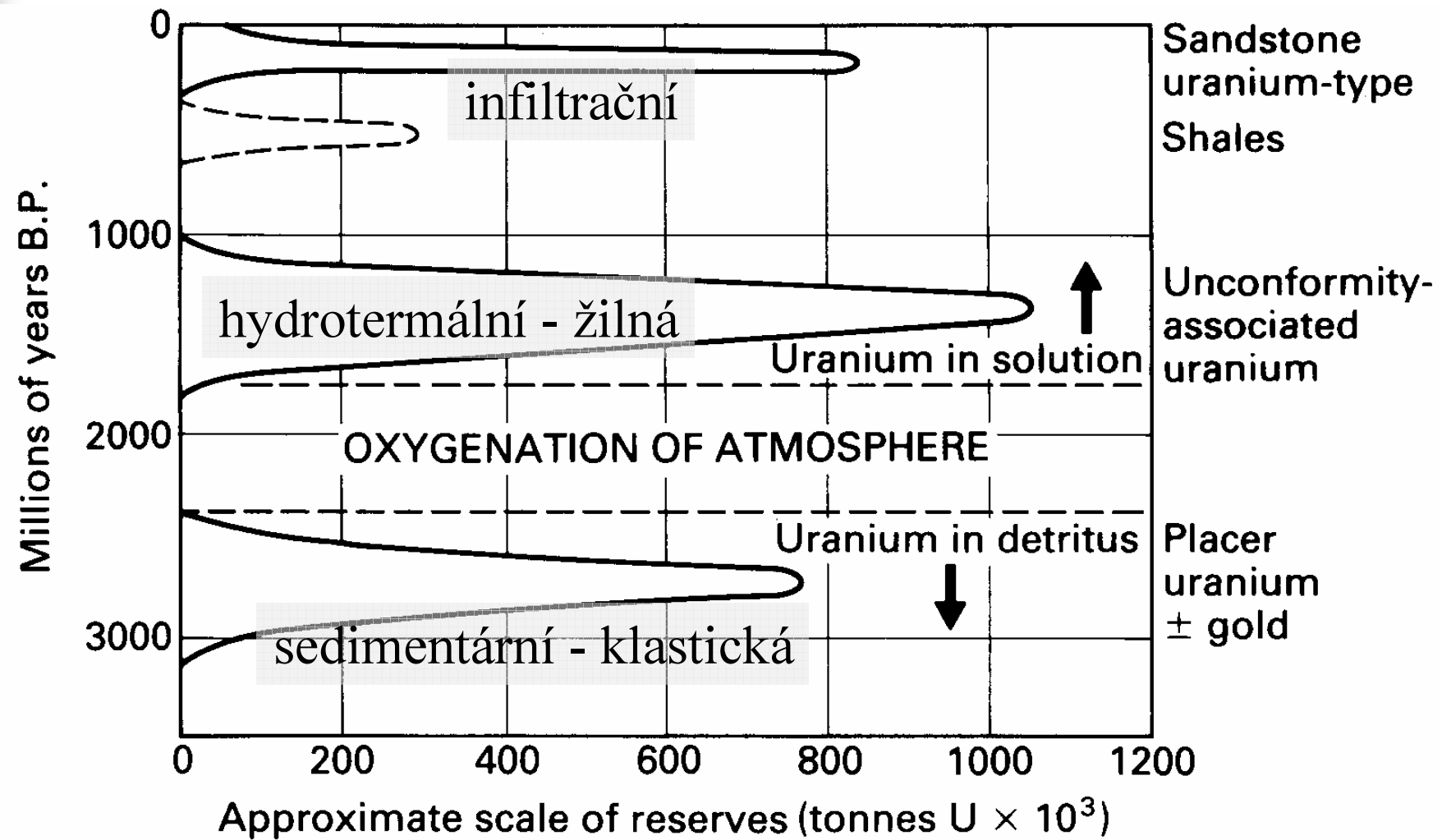


Uran - použití

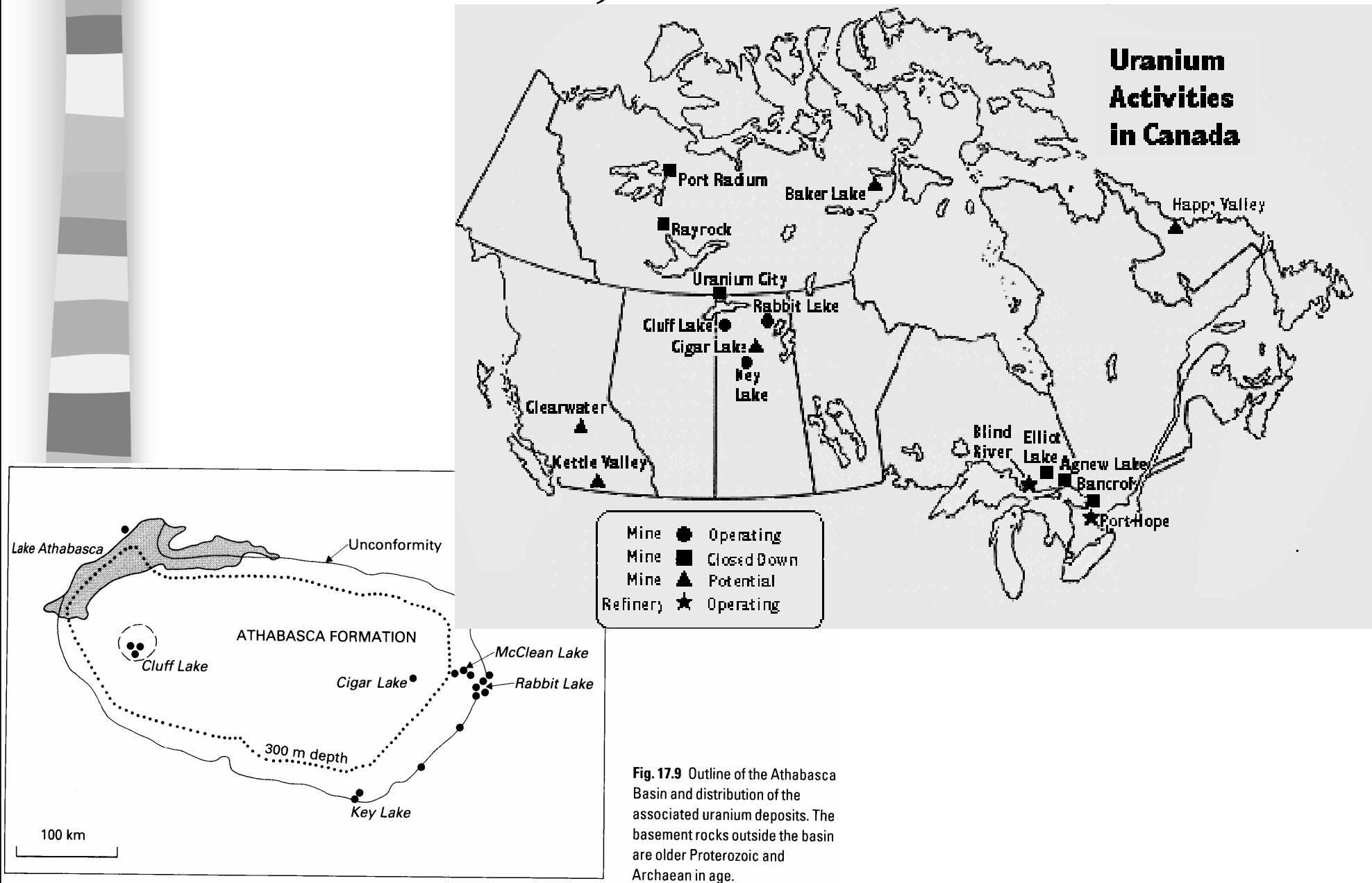
- yellow cake, U₃O₈,
- obohacování izotopu 235 (plynná difúze), z 1 na 4 %



Průmyslové typy ložisek U a jejich stáří



U – Kanada, Athabasca



U – USA, Wyoming

infiltrační ložiska

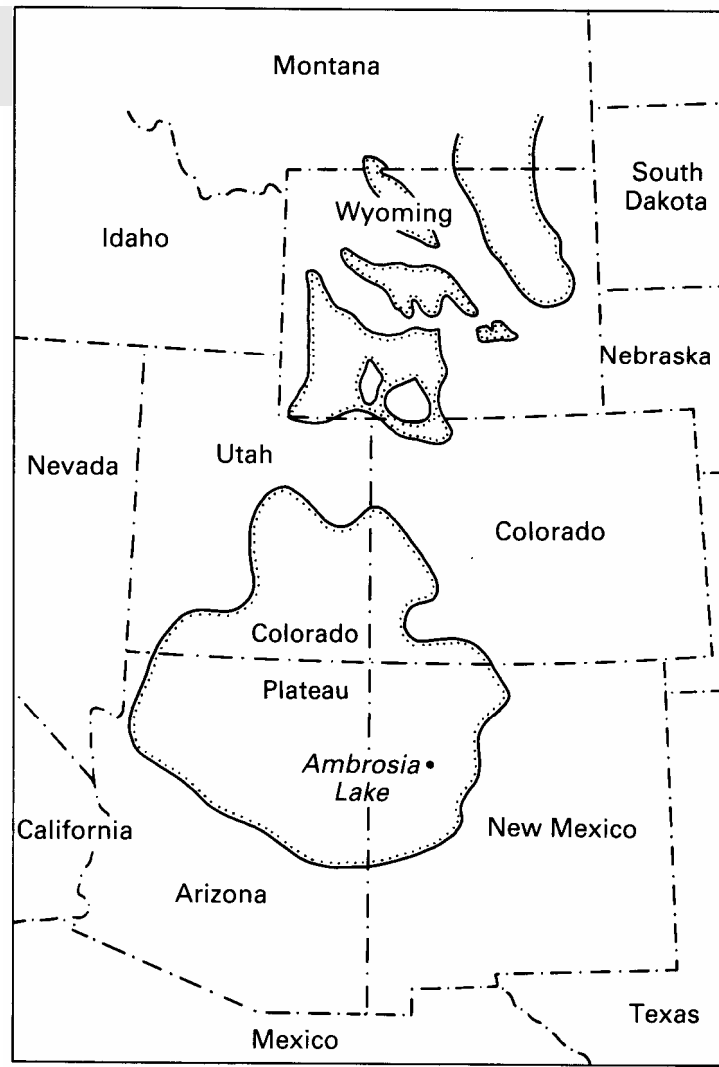
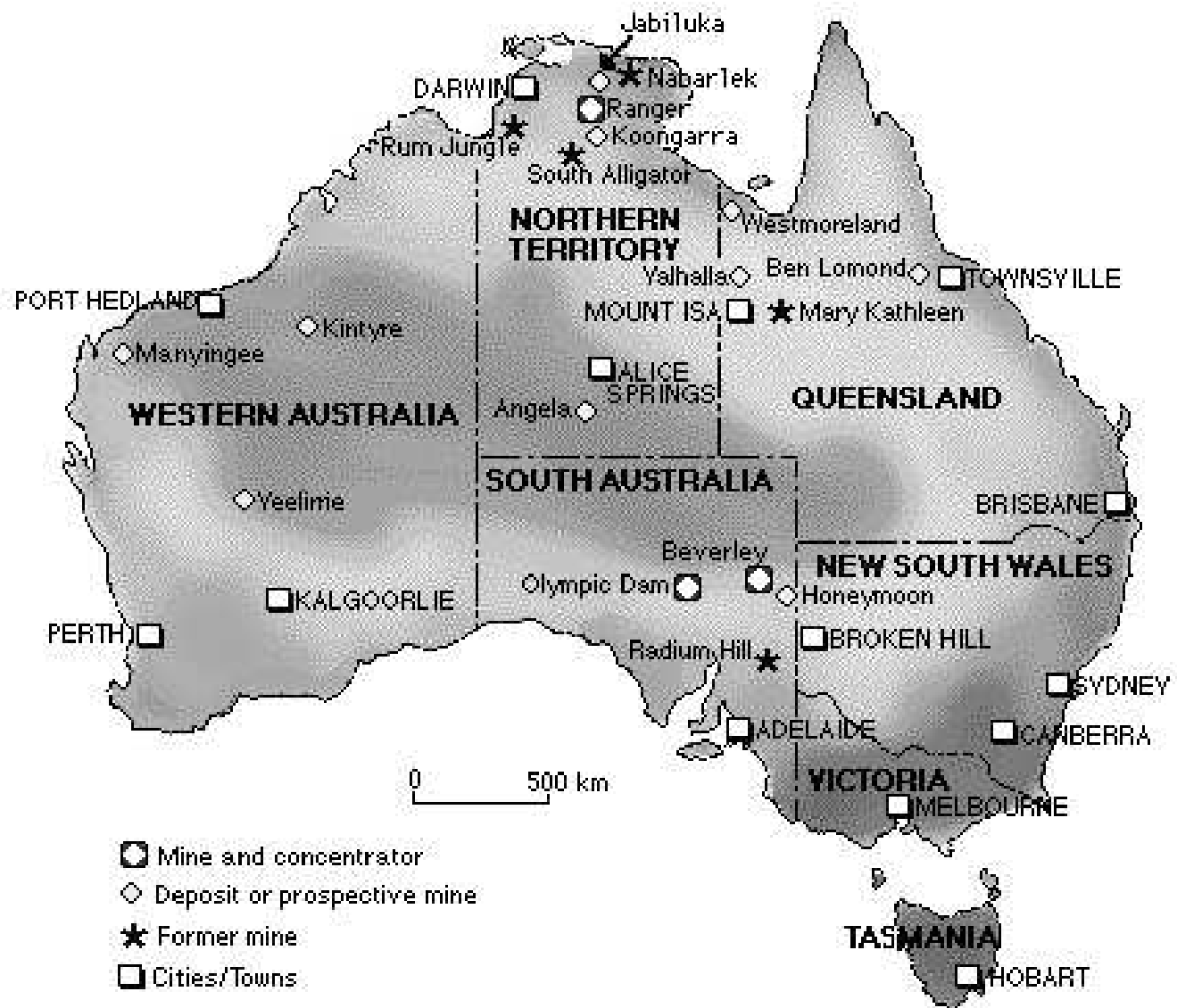


Fig. 18.3 Map showing the Colorado Plateau and Wyoming Basin.

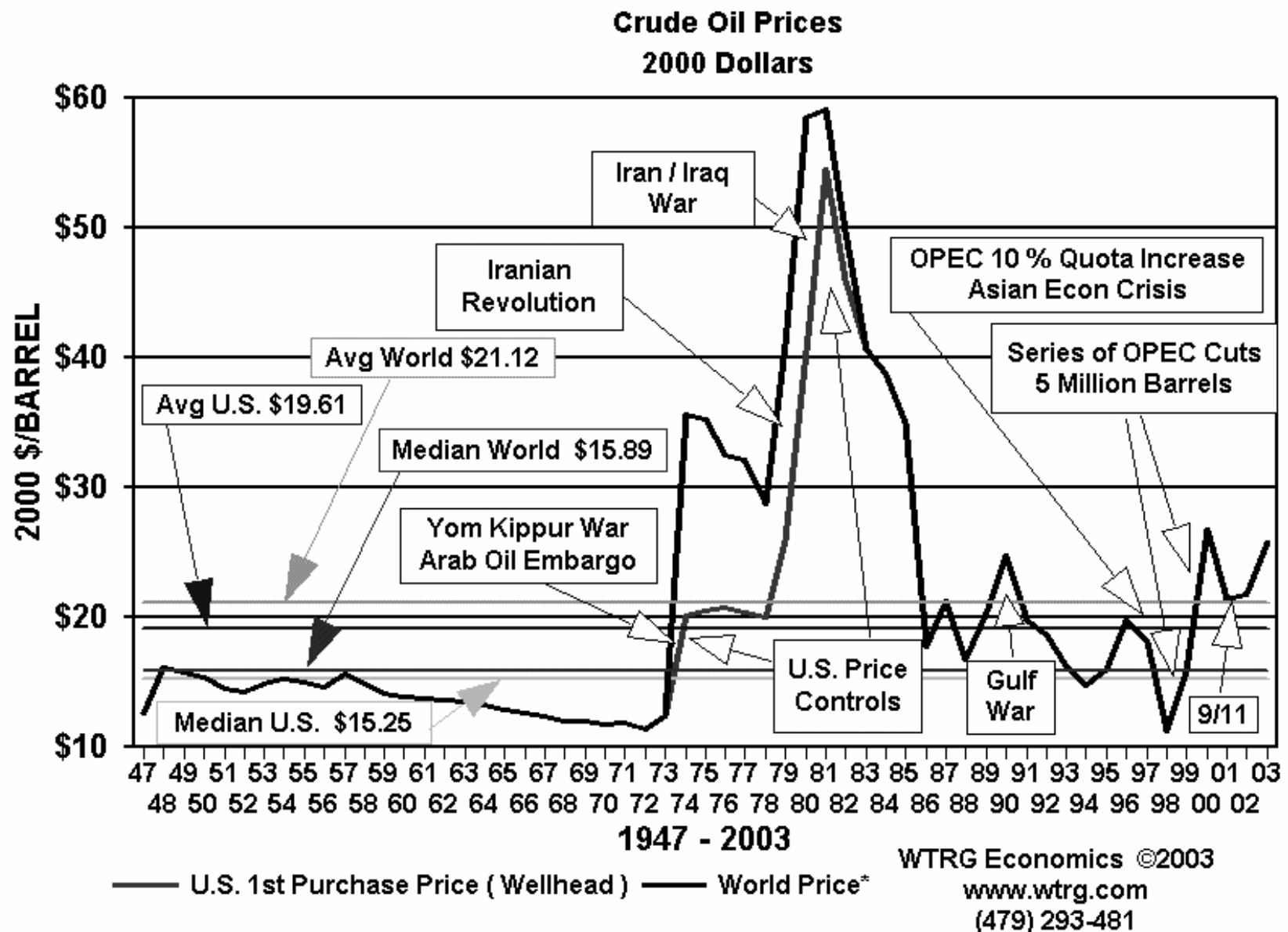
U – Austrálie



Hlavní světoví producenti, ceny

- Kanada
- Austrálie
- USA
- Rusko
- Evropa?
- 35 000 t uranu v r.2001
- 440 elektráren, 16% el.energie
- 10,73 \$/lb (2003)

Ropa – strategická surovina



Vznik uhlovodíků

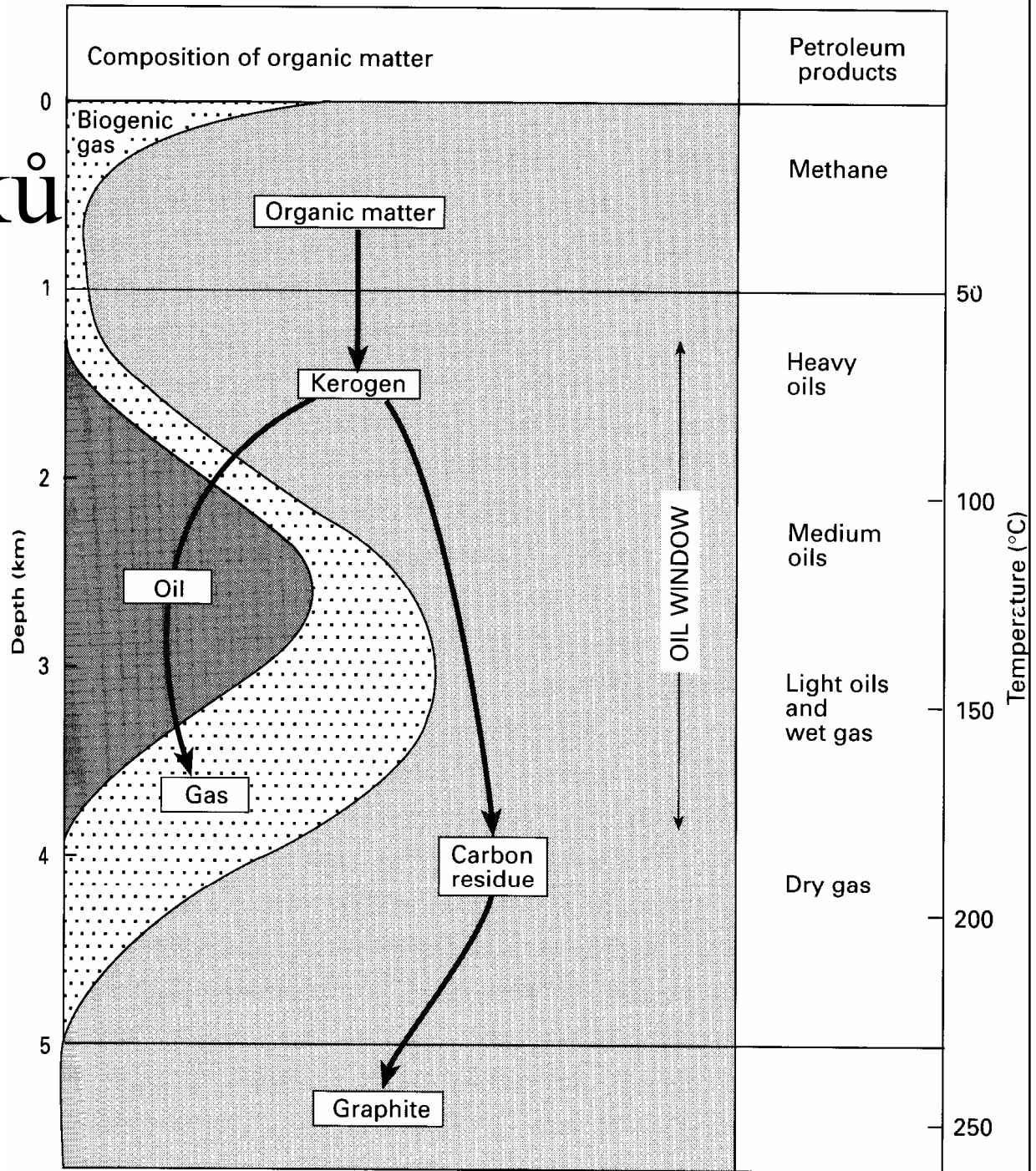
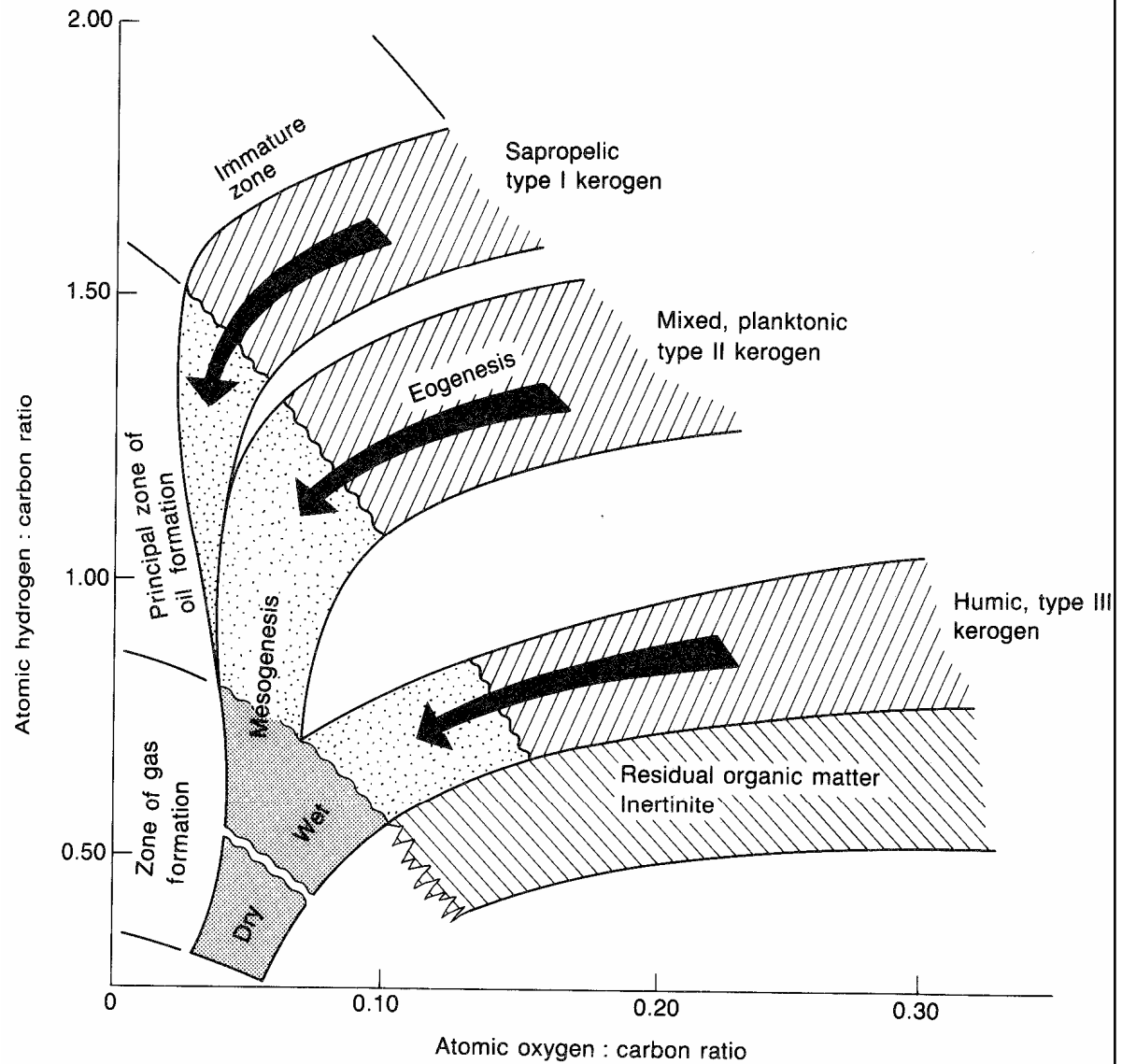
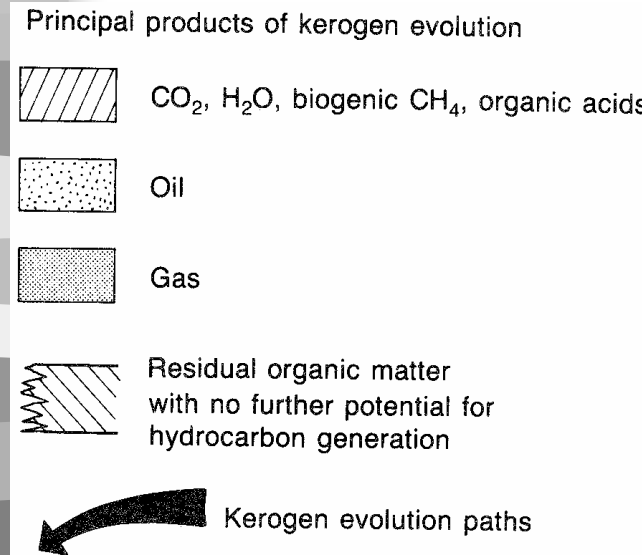


Fig. 25.5 Organic matter diagenesis showing the relationship between temperature, depth of burial and the petroleum products formed.

Geneze kerogenu

Fig. 25.6 The evolution paths of the three kerogen types during diagenesis.



Ropa - oblasti

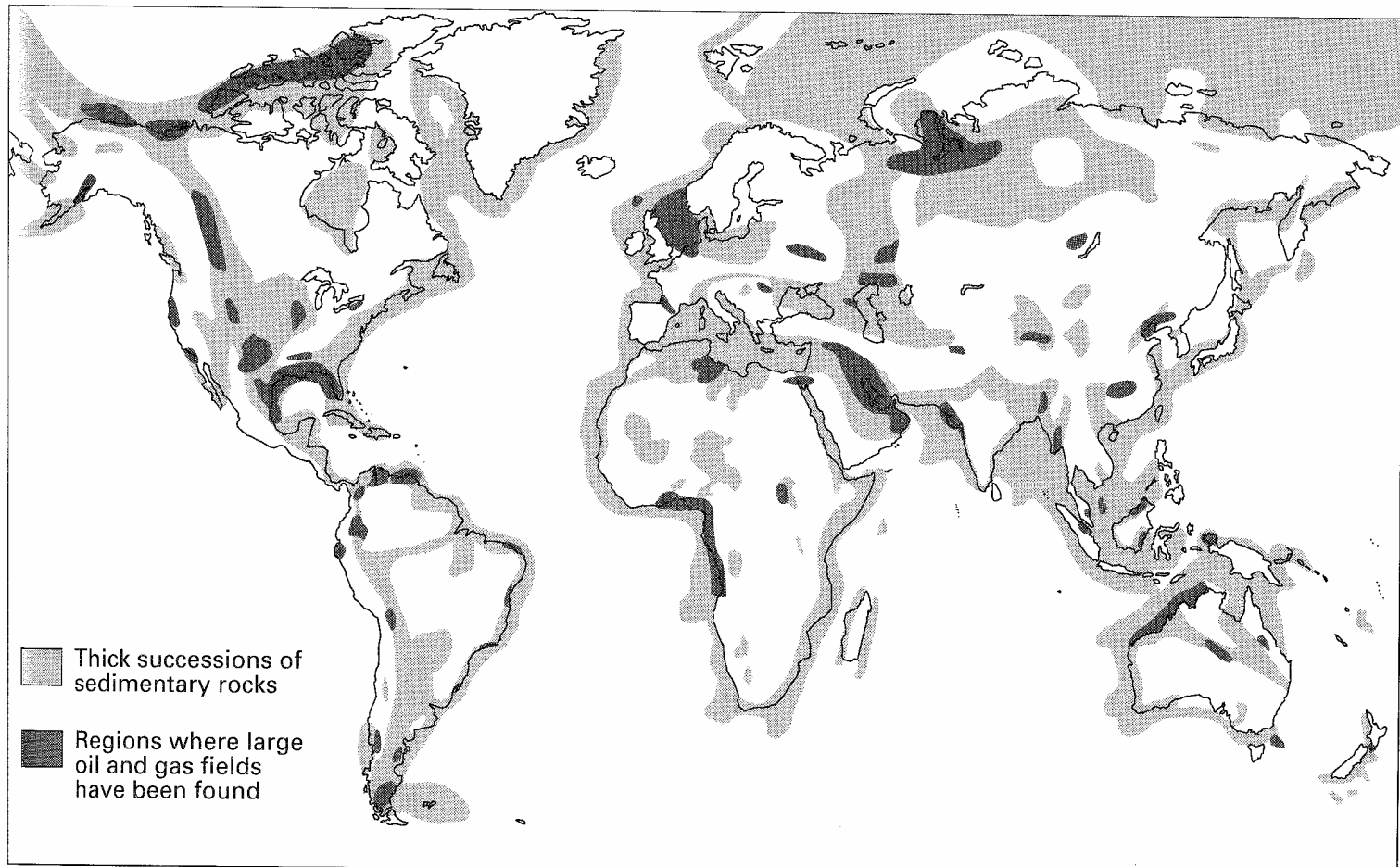
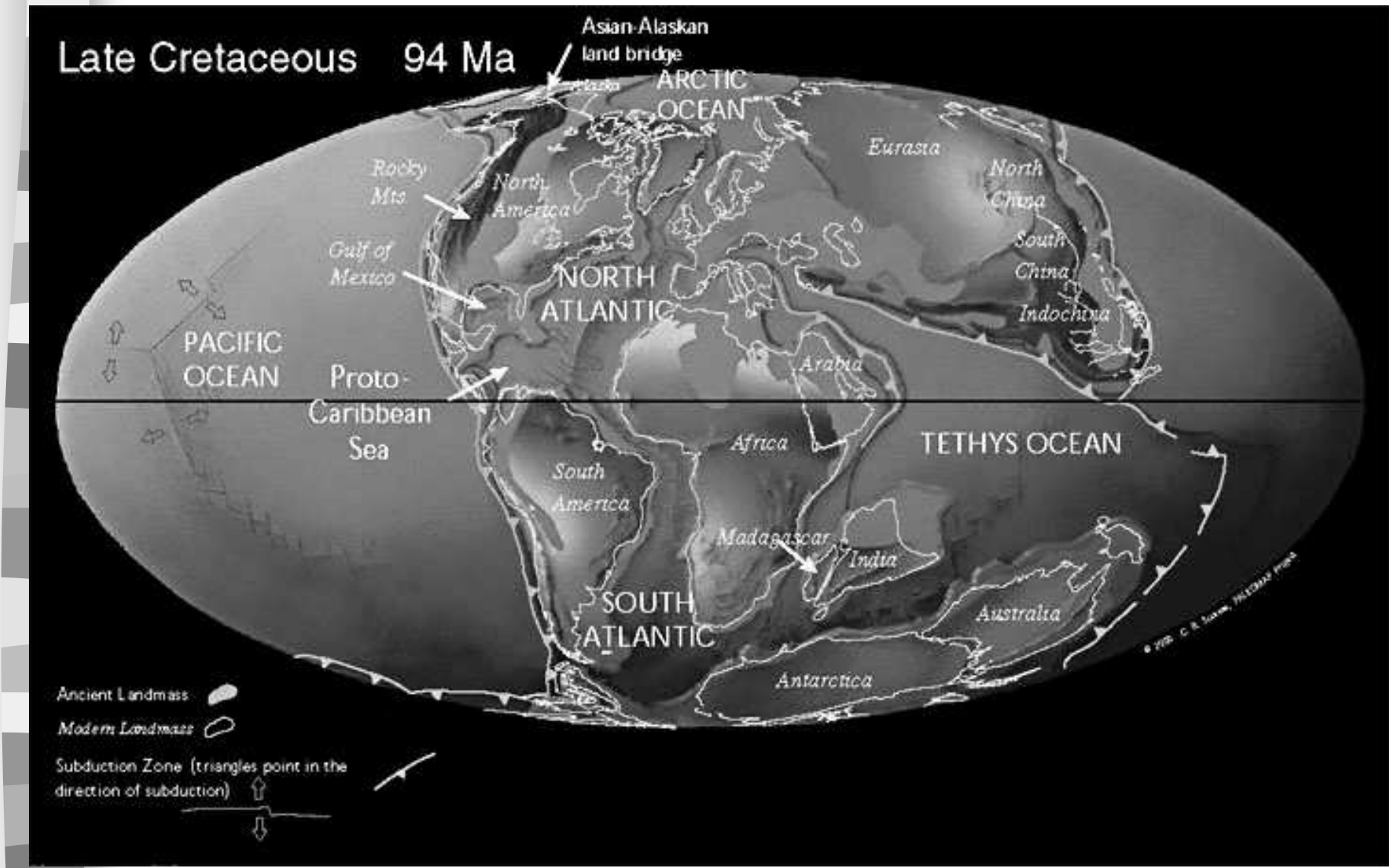
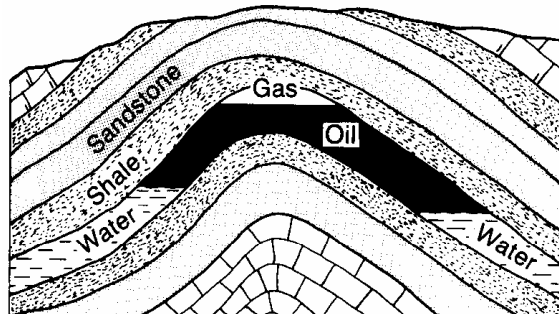


Fig. 25.1 Distribution of sedimentary basins that contain known or potential oil or gas accumulations and the main known oil and gas bearing regions of the world.

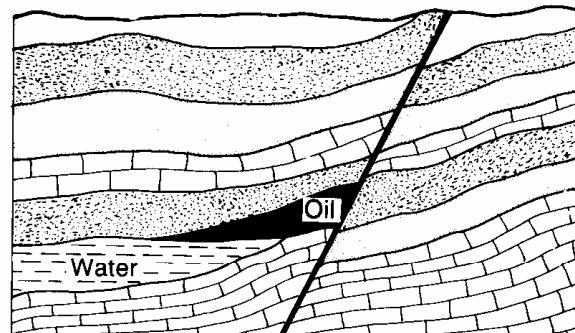
Vznik uhlovodíků - paleogeografie



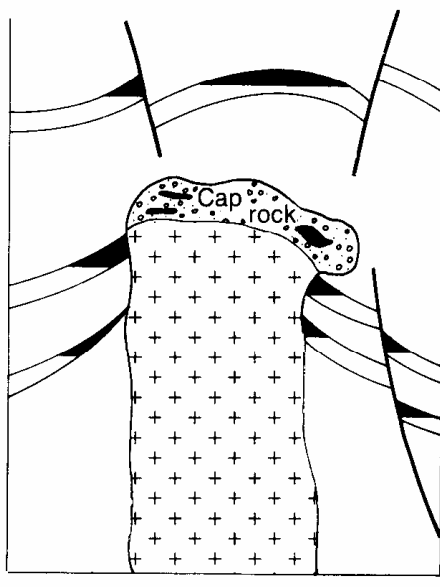
Pasti



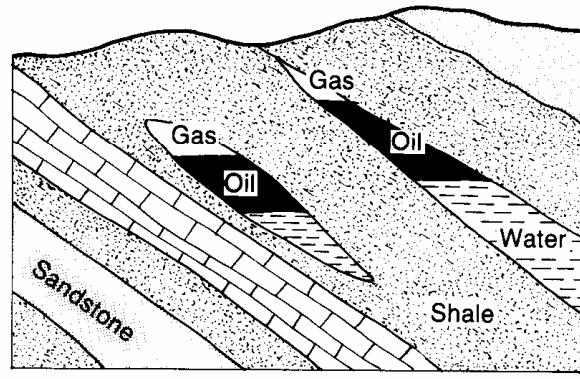
(a)



(b)



(c)



(d)

Fig. 25.8 Structural and stratigraphical oil traps.
(a) Anticlinal trap developed in a sandstone reservoir in an open, asymmetrical fold. (b) Oil trapped by a fault seal. (c) Schematic diagram of salt dome traps, in supercap, cap rock and flank sandstones (abutting, fault sealed and pinch out). (d) Two types of stratigraphical traps. Right, sandstone wedge out; left, sandstone lens.

Pasti II.

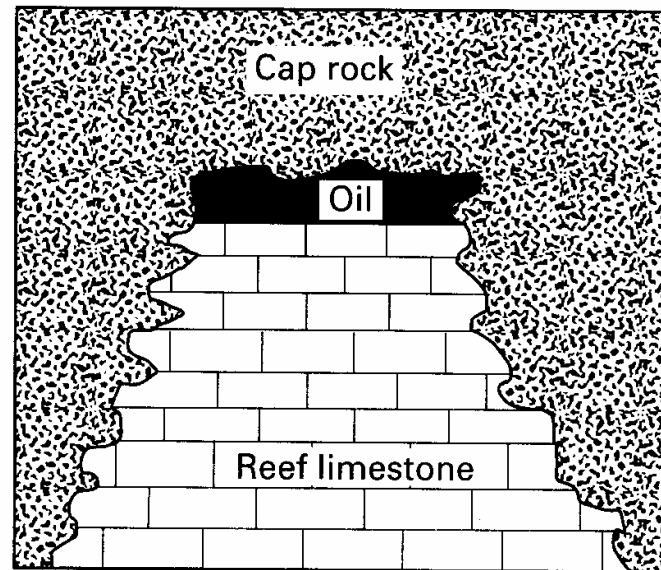
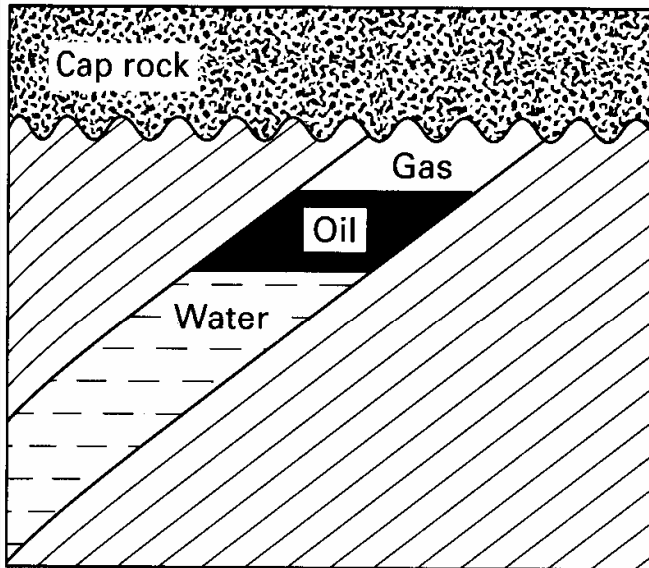


Fig. 25.9 (a) Unconformity trap.
(b) Reef trap.

Nejvýznamnější produkční oblasti

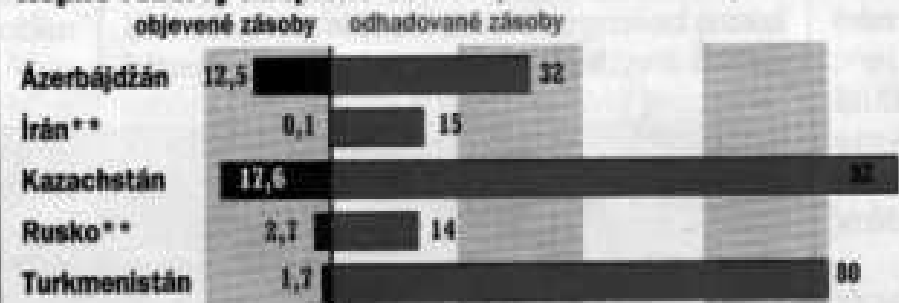
- Perský záliv
- Severní moře
- Rusko
- jv. Asie
- ...

Kaspická oblast

Kaspické moře: Ropný zdroj budoucnosti



Ropné rezervy kaspické oblasti (v miliardách barelů *)



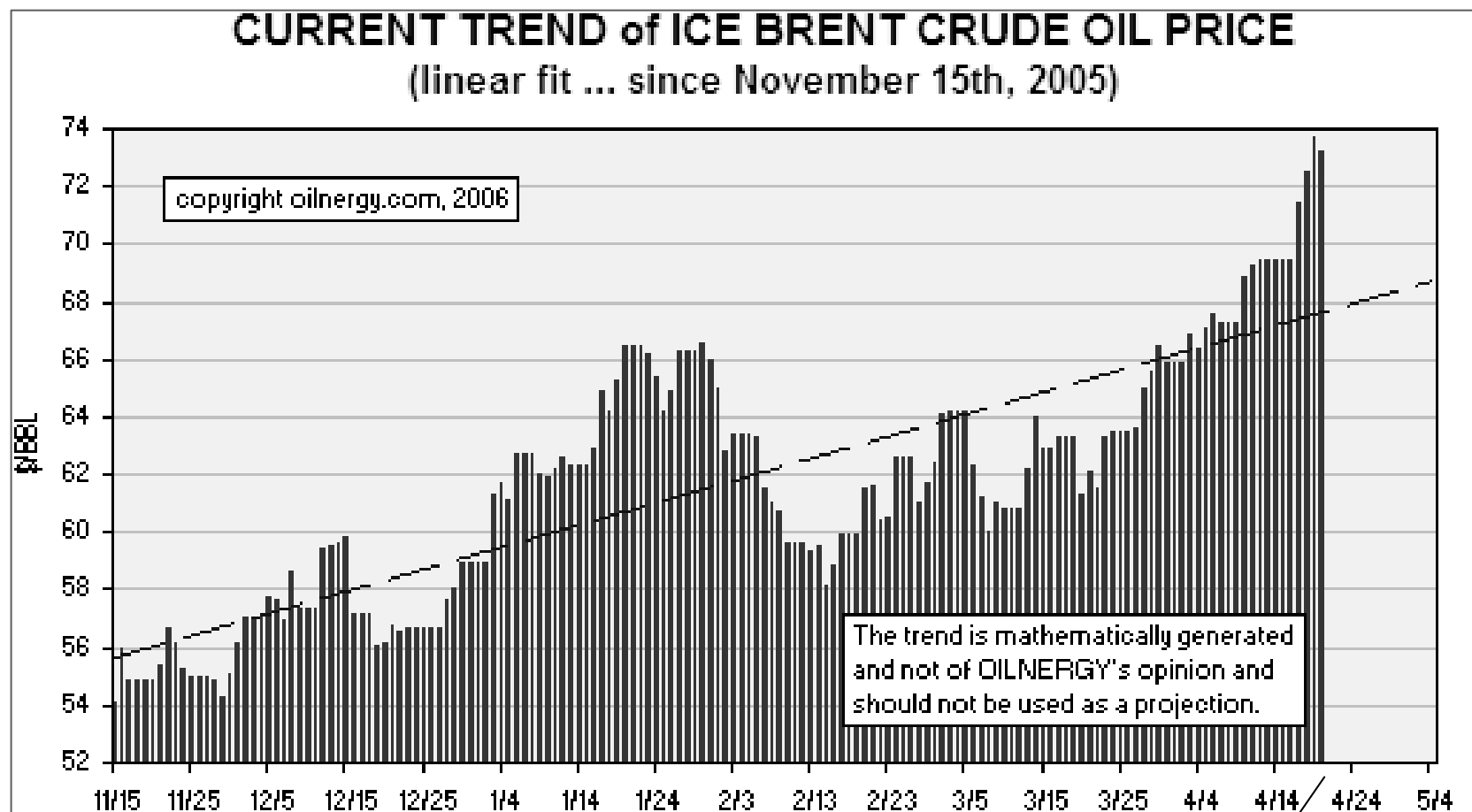
*) barel je zhruba 159 litrů

**) započítány jsou jen těžební oblasti v kaspickém regionu

Zdroj: U. S. Energy Information Administration

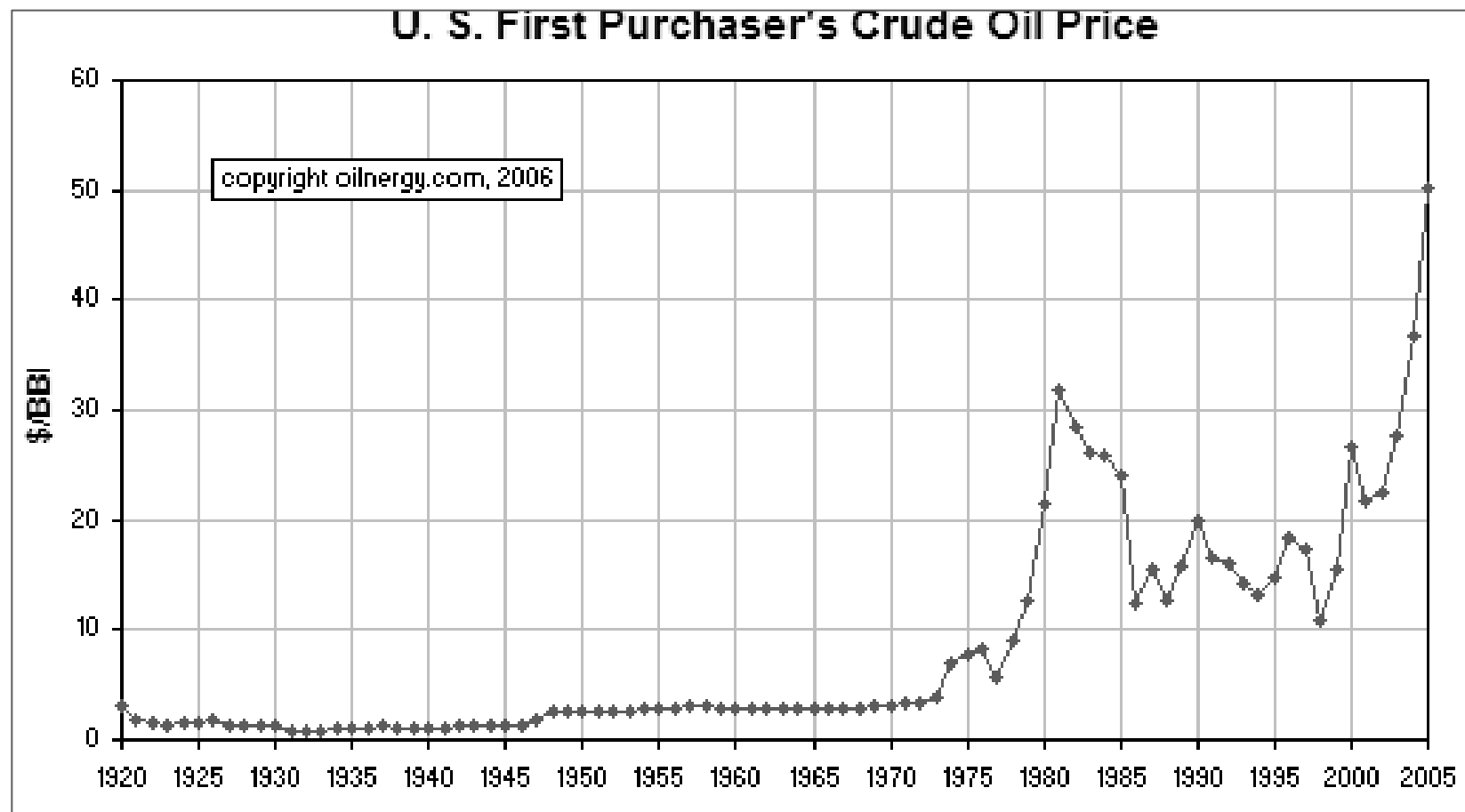
REUTERS

Cena ropy

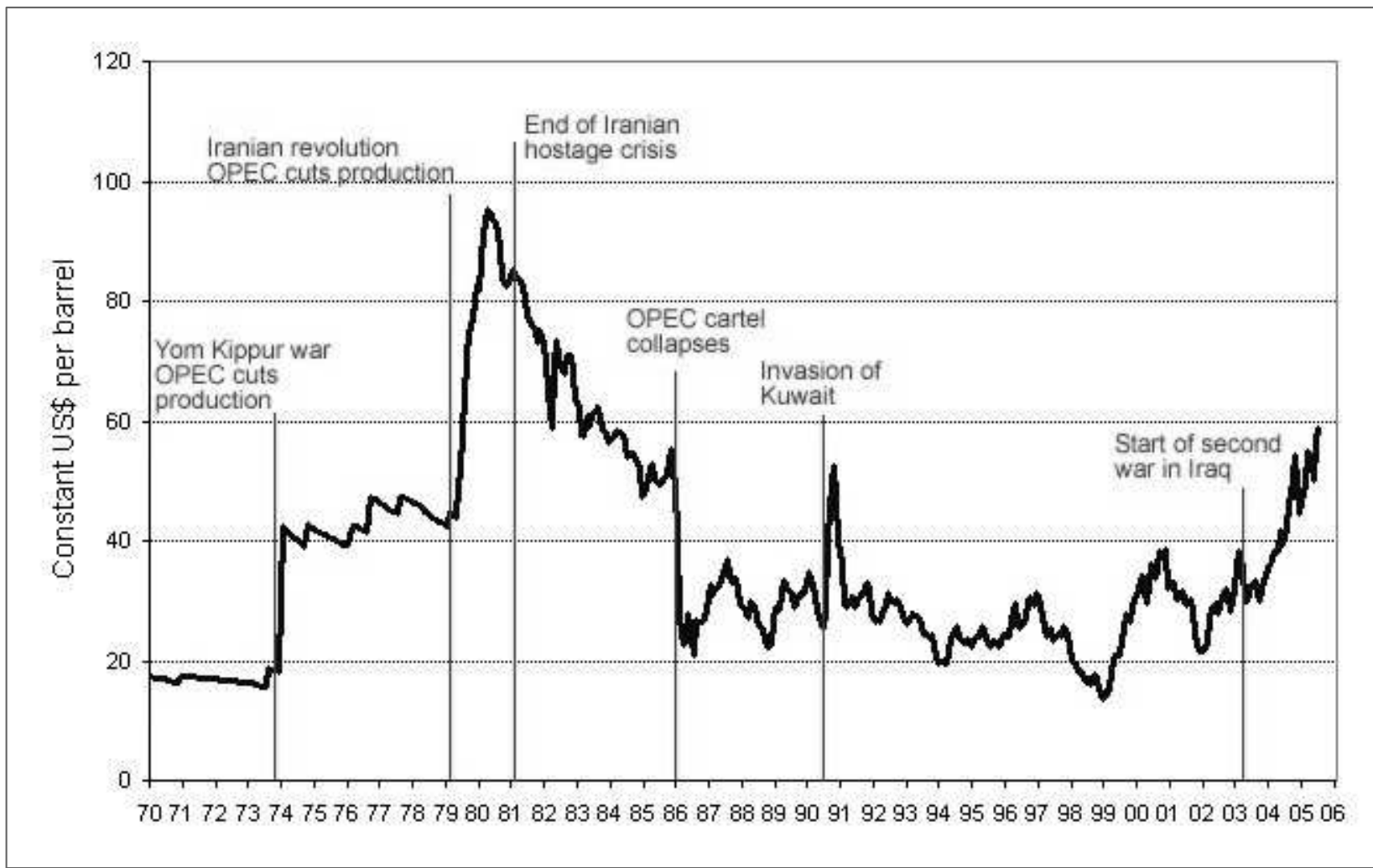


20.4.2006

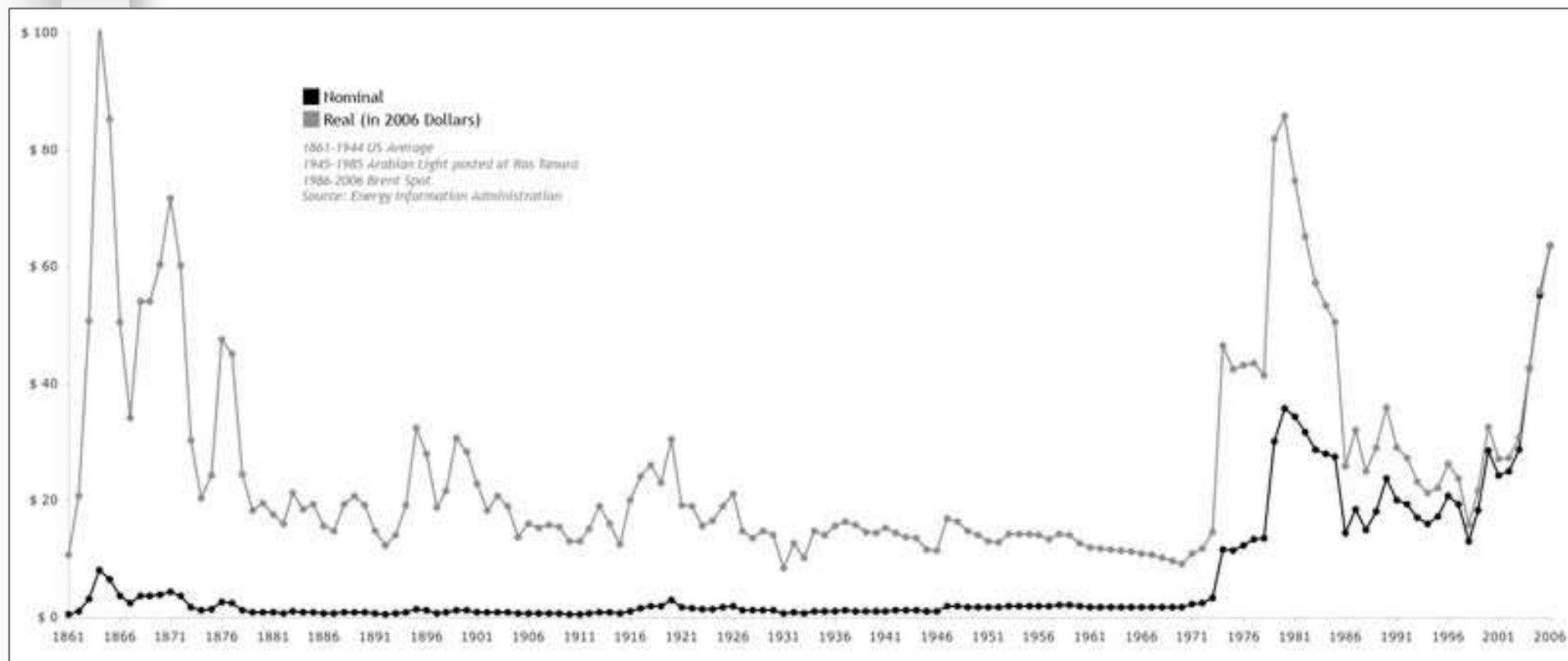
Historie cenropy



Ceny a mezinárodní konflikty



Ceny ropy



Další zdroje uhlovodíků

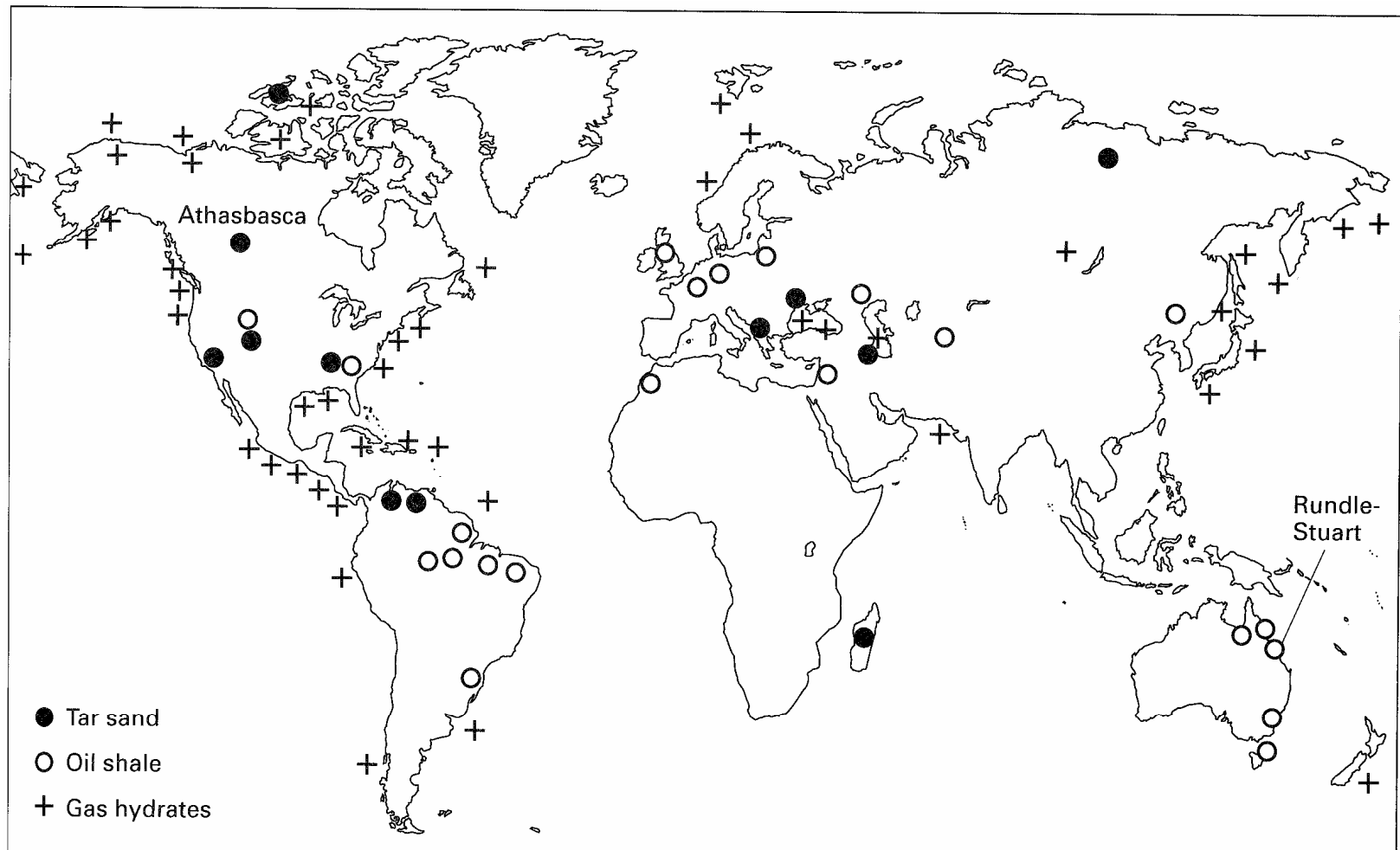
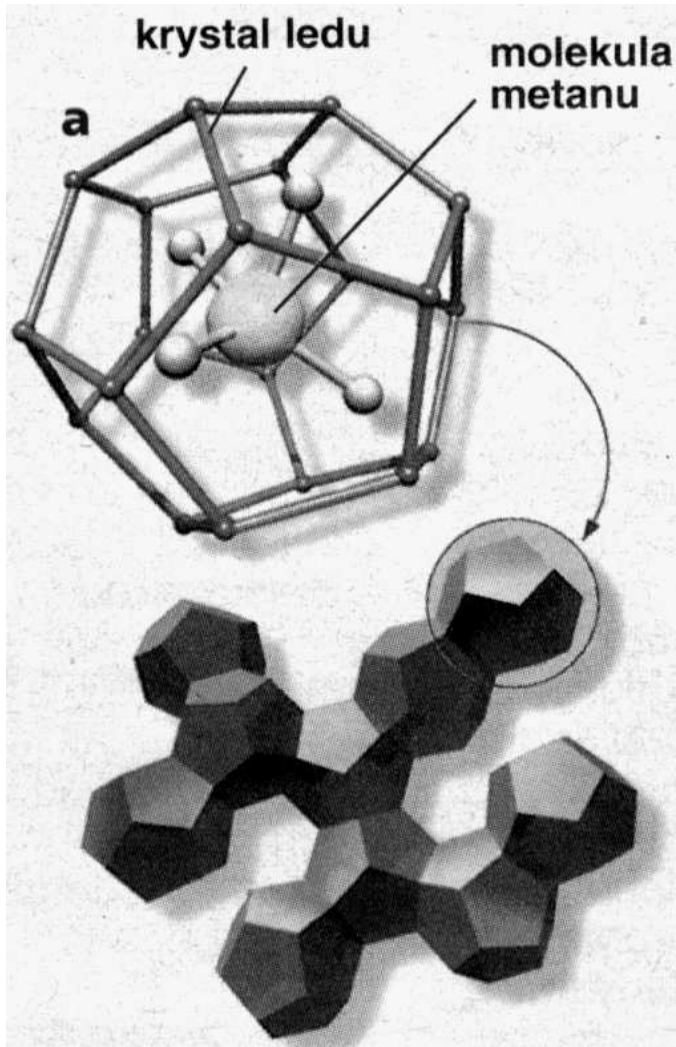


Fig. 25.13 World distribution of important tar sand and oil shale deposits, and the known occurrences of gas hydrates.

Hydráty CH_4



Vrstvičky hydrátů metanu

Figure-2 Layers of gas hydrate in a subsea sediment sample.

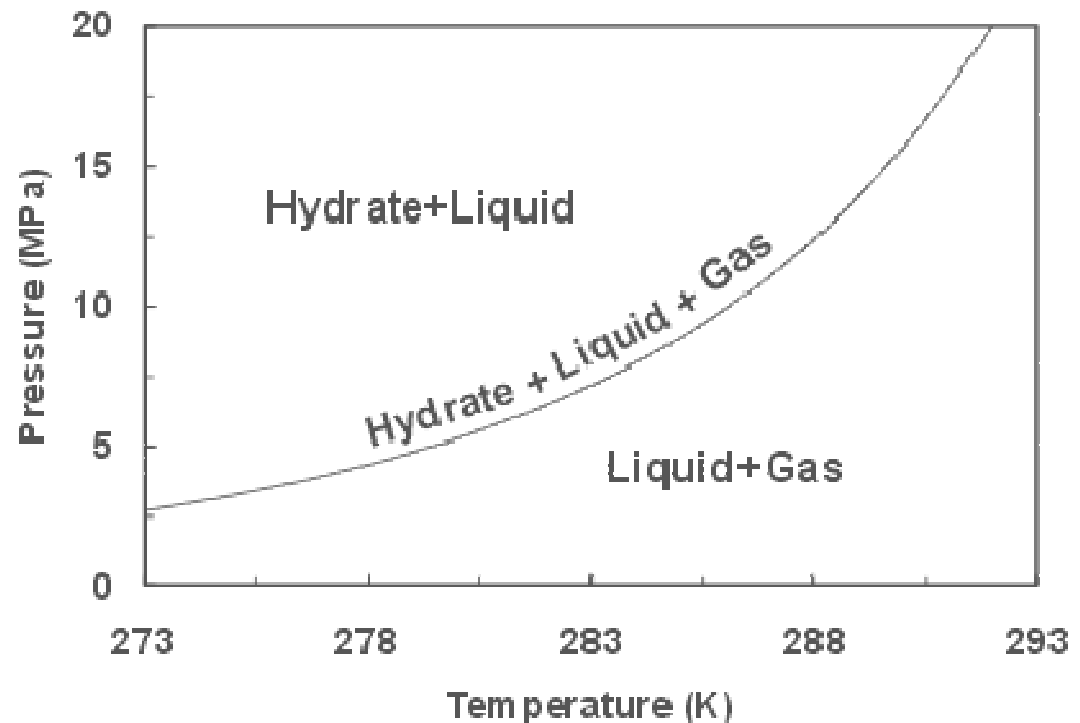
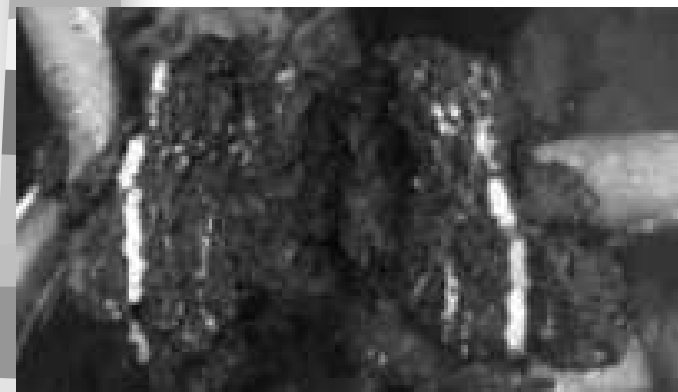


Figure 1 Pressure versus temperature phase diagram for simple methane hydrates.

Stabilita hydrátů CH_4

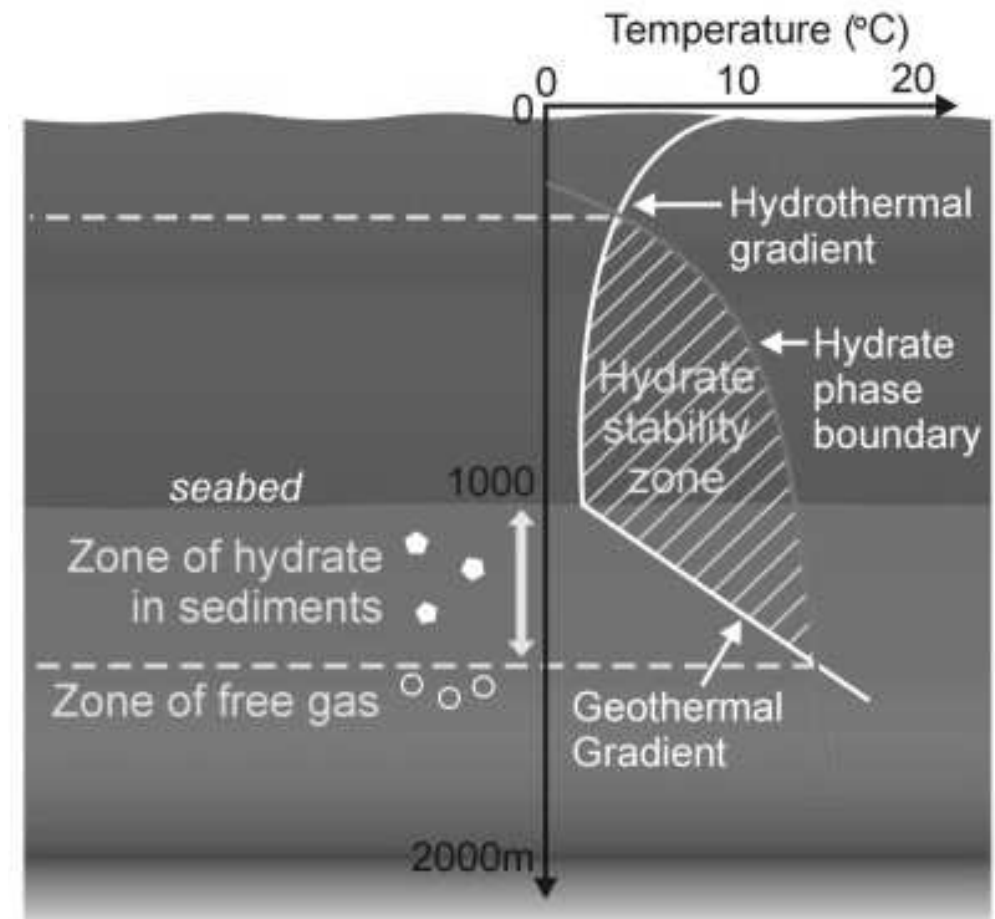


Figure 3 The Hydrate Stability Zone in Subsea Sediments

Stabilita hydrátů I

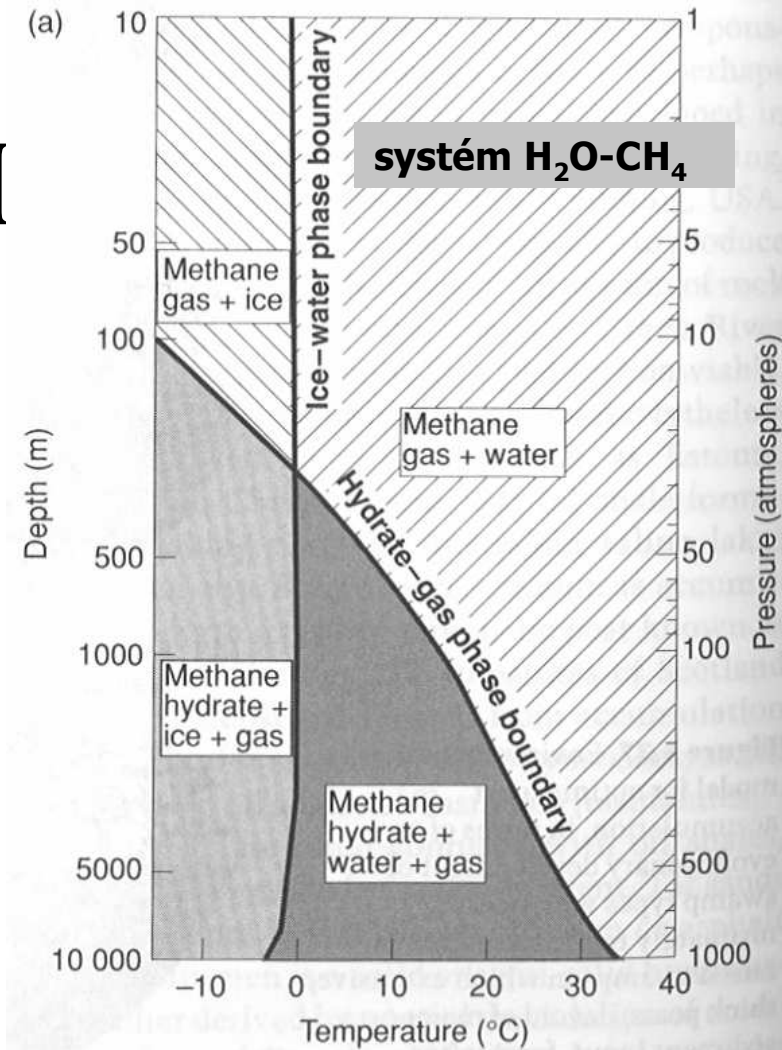
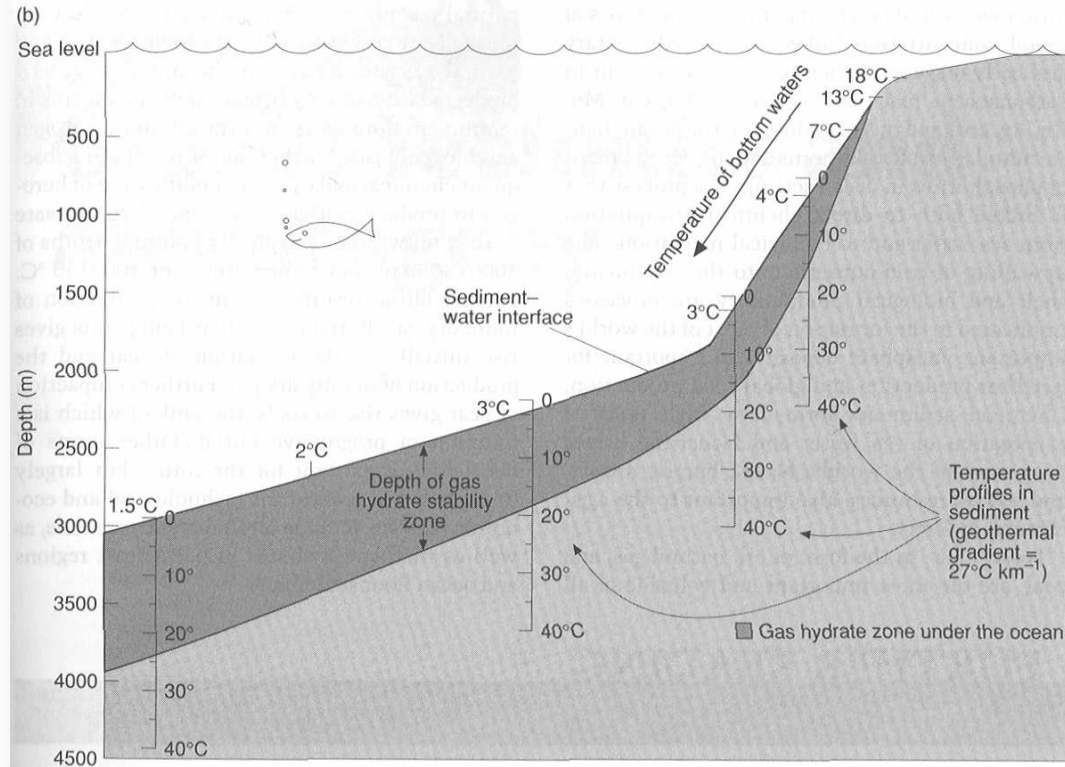


Figure 5.38 (a) Phase diagram illustrating the regions of gas hydrate stability under most natural conditions in the near-surface (after Kvenvolden and McMenamin, 1980). (b) Profile across a typical ocean–sediment interface in a continental margin setting, showing the progressive increase in the width of the gas hydrate stability zone in the ocean sediment with increasing depth of sea water (after Kvenvolden, 1988).

Rozšíření hydrátů metanu

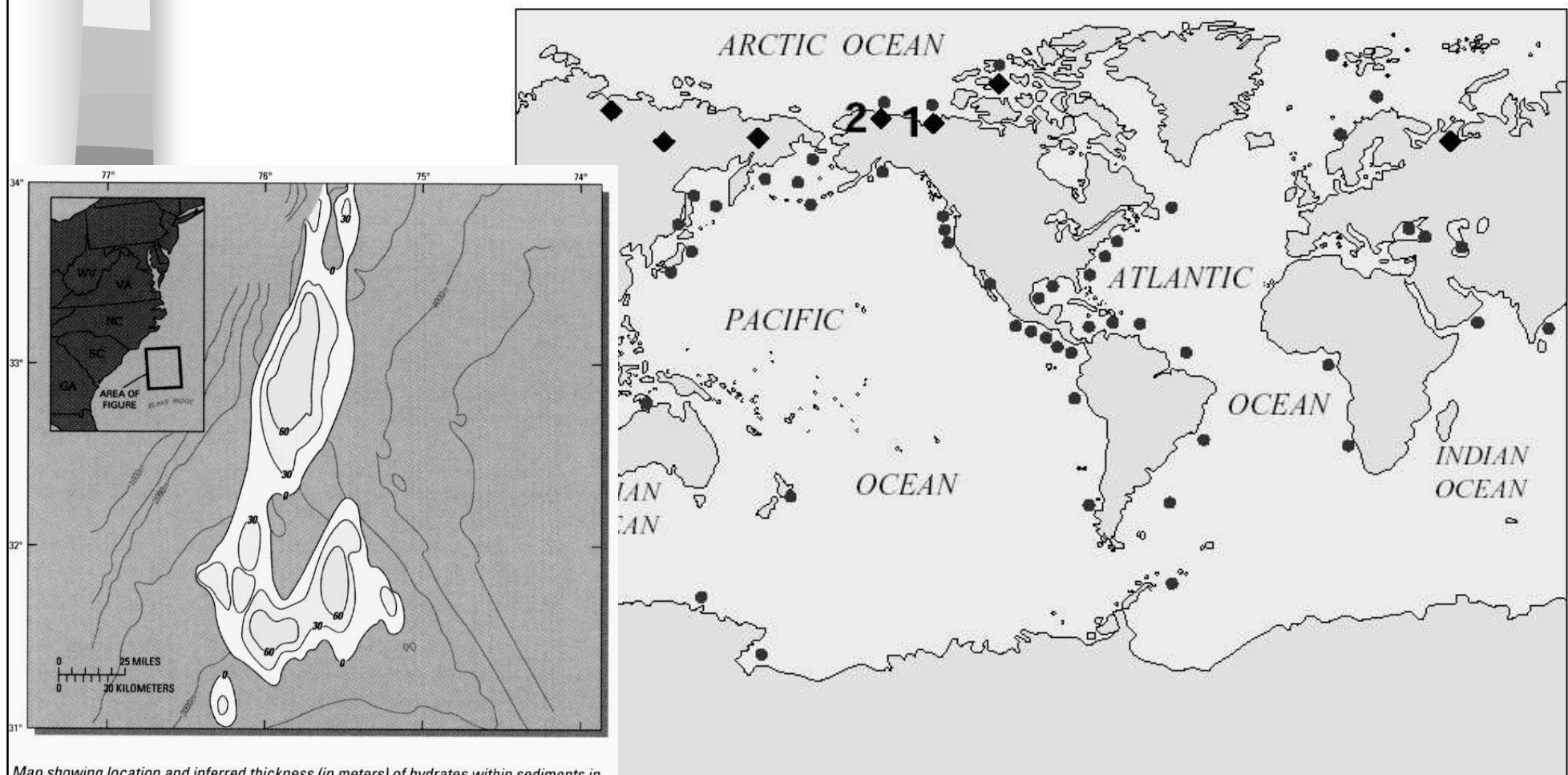
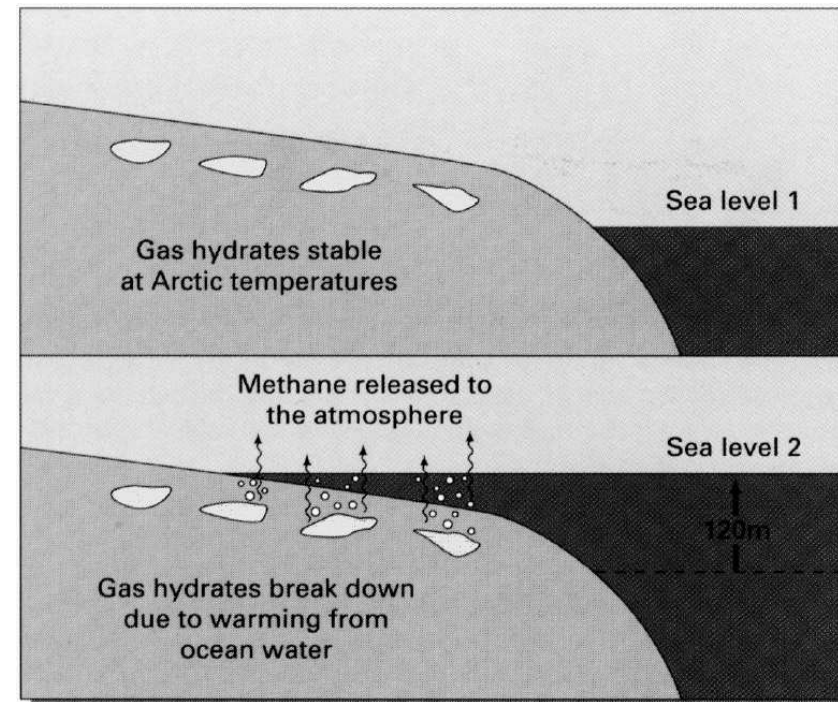
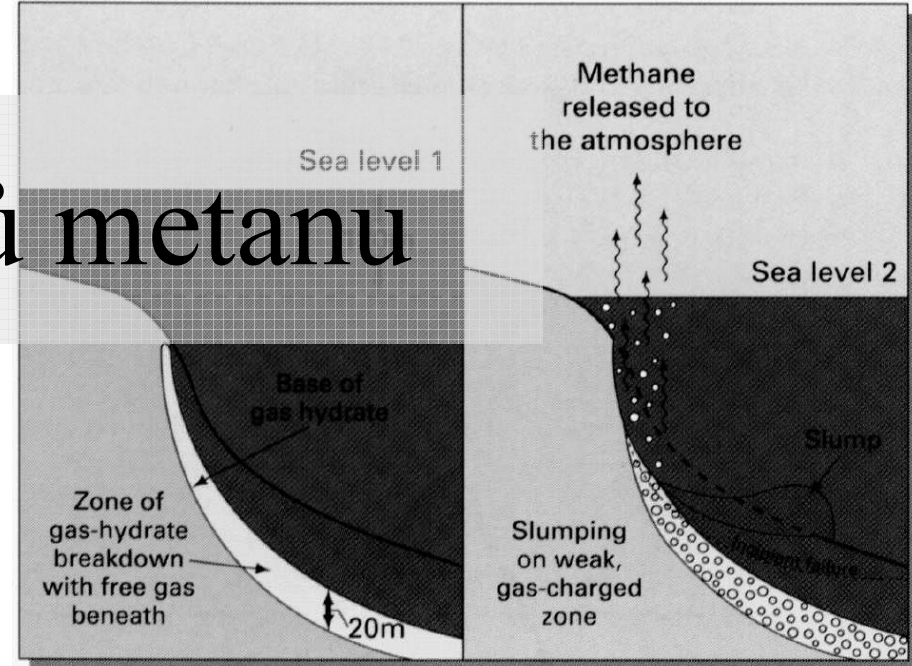
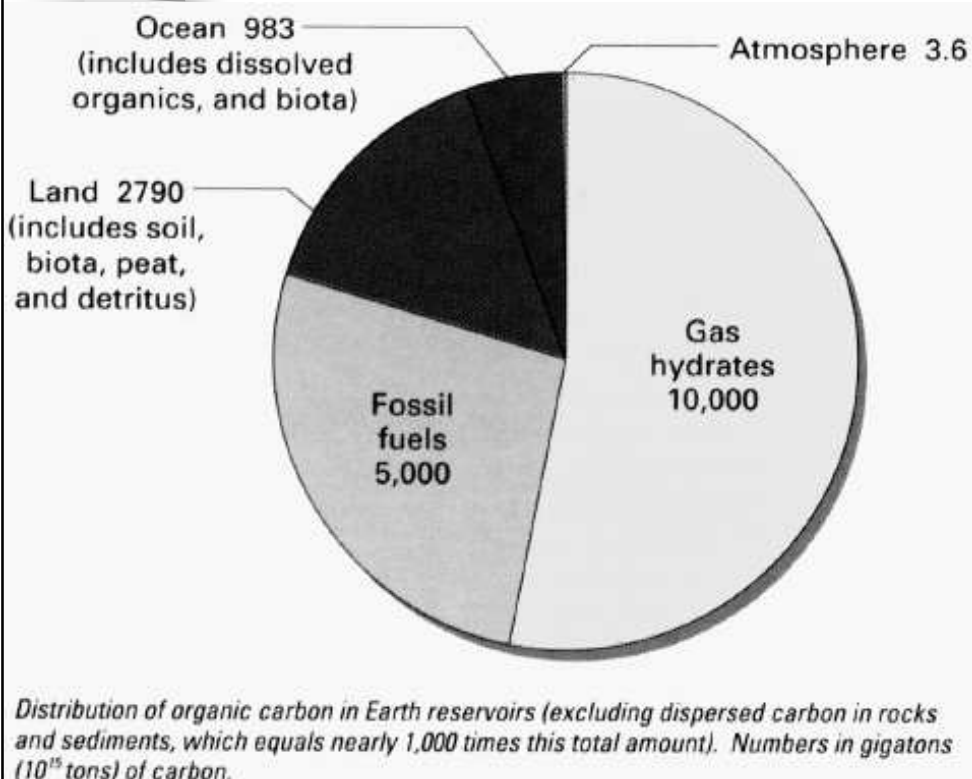


Figure 1. Known and inferred natural gas hydrate occurrences in marine (red circles) and permafrost (black diamonds) environments. Modified from K. A. Kvenvolden, U.S. Geological Survey (written commun., 1999). The USGS is studying hydrates at sites 1 (Mackenzie Delta, Canada) and 2 (North Slope, Alaska).

Význam hydrátů metanu



Sea-level rise causes relatively warm ocean water to cover cold Arctic strata. The resulting breakdown of stable gas hydrates within the sediment releases gas into the atmosphere.

Uhlí - oblasti

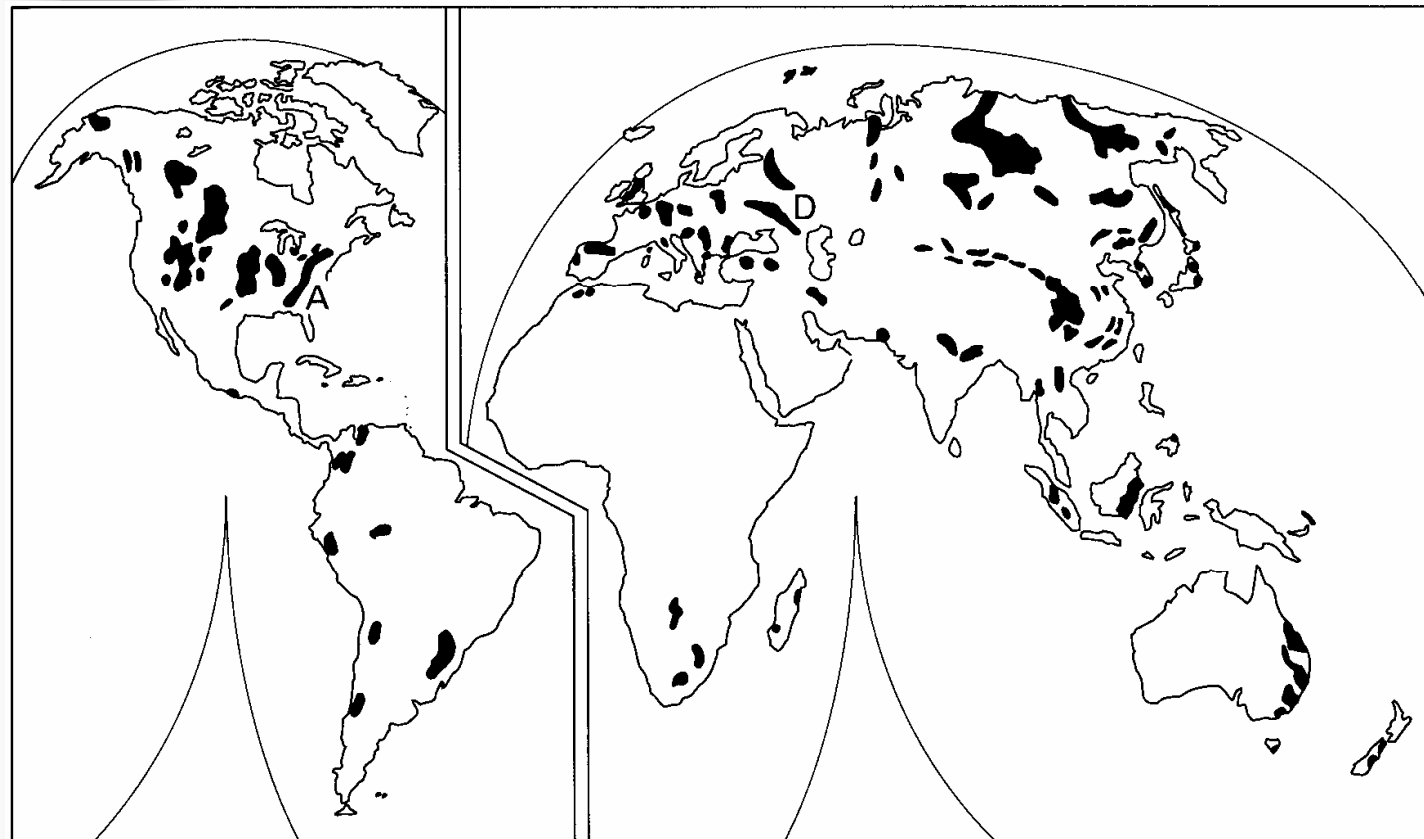


Fig. 24.2 World distribution of coalfields. A, Appalachian; D, Donets.

Uhlonosné pánve - typy

■ paralická

pasivní okraje kontinentů, delty

■ limnická

intrakratonné pozice



Mangrove Swamp in the
Everglades, SW Florida

Delta – uhlonosné cykly

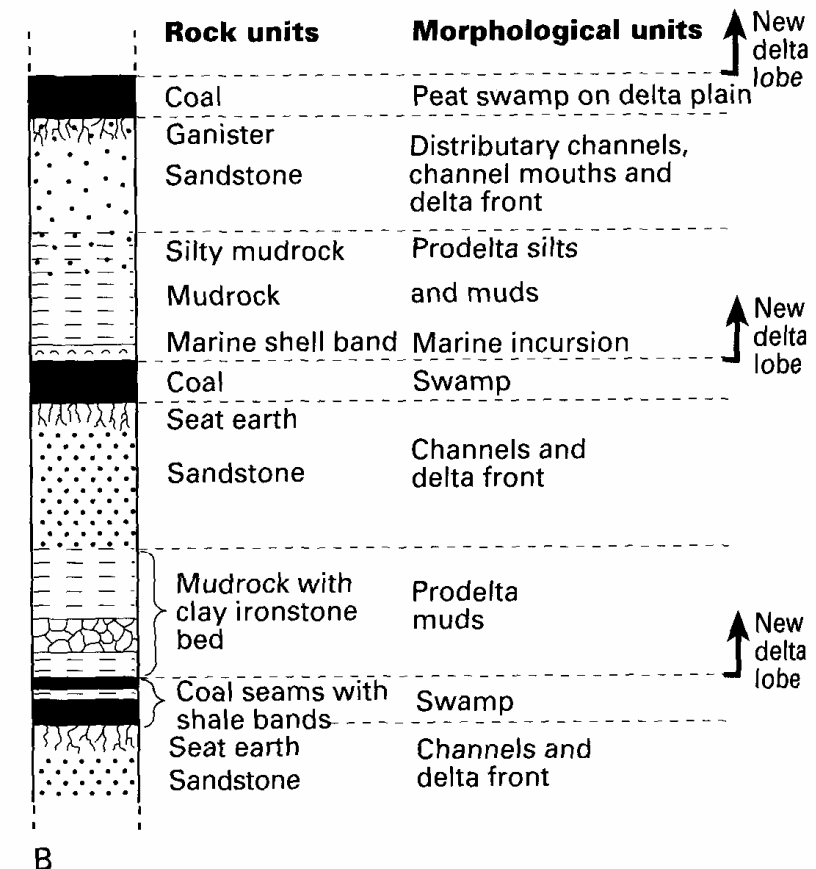
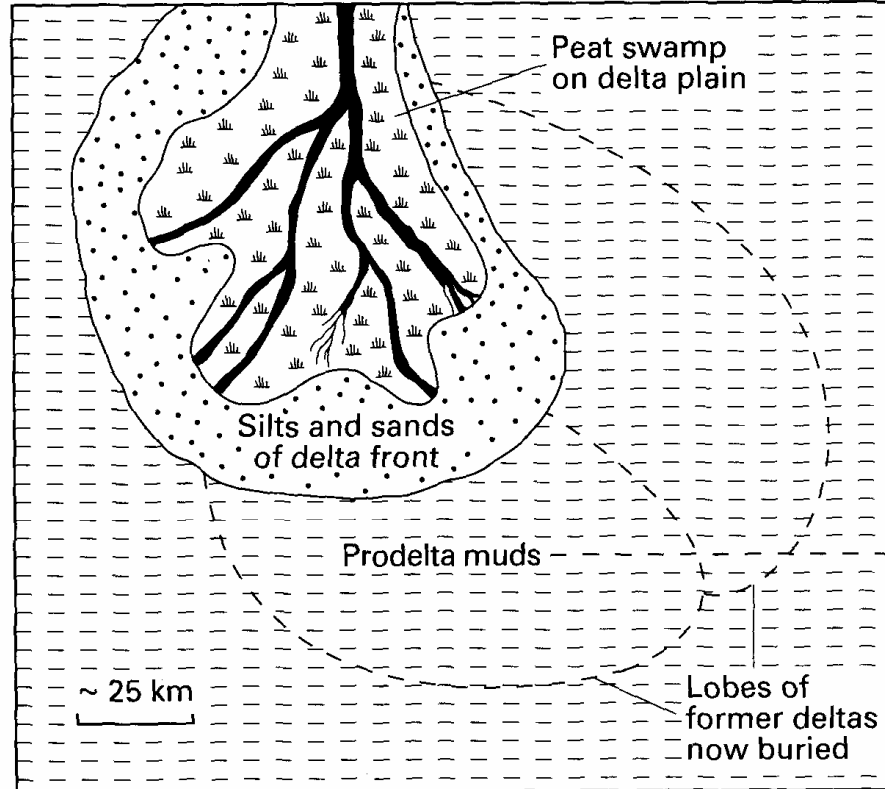


Fig. 24.4 (A) Three elongate delta lobes superposed upon each other with the three principal morphological units of the latest delta indicated. (B) A typical sequence of cyclothem. The positions of the approximate boundaries between the deposits of the three main morphological units of the delta are indicated with pecked lines.

Významné pánve světa

- Rusko: doněcká, podmoskevská, kuzněcká, tunguzská, lenská
- Německo: magdeburská, rúrská
- Polsko: hornoslezská, lublinská
- Velká Británie: East Penine Coal Basin, Newcastle Basin
- Čína: Šan-si, Fu-šun
- USA: apalačská, Powder River
- Jihoafrická republika: South Transvaal Coal Area
- Austrálie: pánev Sydney

Zásoby, ceny, ...

- zásoby
- cena: uhlí – USA: 1990: 22\$/t
1999: 16\$/t
ČR: 620-920 Kč/t velkoobchod
730-1100 Kč/t MUS